



(12) 发明专利申请

(10) 申请公布号 CN 104061816 A

(43) 申请公布日 2014. 09. 24

(21) 申请号 201410106383. 0

(22) 申请日 2014. 03. 21

(30) 优先权数据

13/848, 827 2013. 03. 22 US

(71) 申请人 丰田自动车工程及制造北美公司

地址 美国肯塔基

(72) 发明人 E·M·戴德 野村壮史

(74) 专利代理机构 中国国际贸易促进委员会专

利商标事务所 11038

代理人 钱亚卓

(51) Int. Cl.

F28F 13/18(2006. 01)

C09D 7/12(2006. 01)

C09D 183/04(2006. 01)

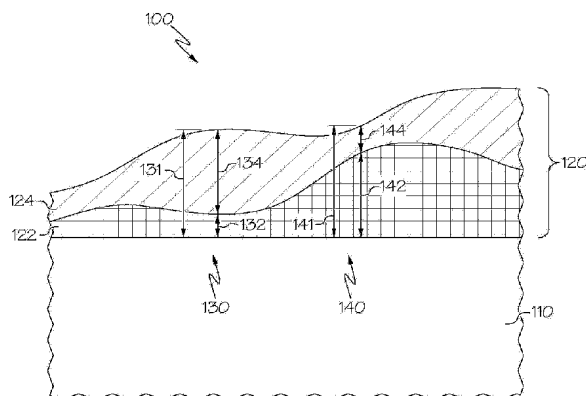
权利要求书2页 说明书10页 附图12页

(54) 发明名称

包括各向异性热引导涂层的热能引导系统及其制造方法

(57) 摘要

本发明提供热能引导系统以及制造热能引导系统的方法。热能引导系统包括以及与热能源的表面热连通的各向异性热引导涂层。各向异性热引导涂层包括多个层,所述多个层包括第一层和第二层。第一层具有第一热传导率,第二层具有第二热传导率。所述多个层不均匀地布置在热能源的表面上,以便根据热能管理目标从热能源引导热能。



1. 一种热能引导系统,其包括:

热能源 ;以及

各向异性热引导涂层,所述各向异性热引导涂层与所述热能源的表面热连通,其中所述各向异性热引导涂层包括多个层,所述多个层包括第一层和第二层,其中所述第一层具有第一热传导率,所述第二层具有第二热传导率,其中所述多个层不均匀地布置在所述热能源的表面上,以便根据热能管理目标从所述热能源引导热能。

2. 根据权利要求 1 所述的热能引导系统,其中所述各向异性热引导涂层的在第一位置处的第一厚度包括所述第一层的第一厚度和所述第二层的第一厚度,其中所述各向异性热引导涂层的在第二位置处的第二厚度包括所述第一层的第二厚度和所述第二层的第二厚度,其中所述第一层的第一厚度小于所述第一层的第二厚度。

3. 根据权利要求 1 所述的热能引导系统,其中所述第一层包括多个热传导颗粒。

4. 根据权利要求 3 所述的热能引导系统,其中所述多个热传导颗粒包括金属颗粒、石墨颗粒、纤维复合材料颗粒、陶瓷颗粒或它们的组合。

5. 根据权利要求 1 所述的热能引导系统,其中:

所述第一层由包括多个热传导颗粒的第一绝缘材料形成 ;并且

所述第二层由第二绝缘材料形成,其中所述第二层不包括热传导颗粒。

6. 根据权利要求 5 所述的热能引导系统,其中所述第一绝缘材料是硅树脂,所述第二绝缘材料是硅树脂,使得所述第一层是包括所述多个热传导颗粒的硅树脂,所述第二层是不具有热传导颗粒的硅树脂。

7. 根据权利要求 1 所述的热能引导系统,其中:

所述第一层由包括第一多个热传导颗粒的第一绝缘材料形成,其中所述第一层具有热传导颗粒的第一浓度 ;并且

所述第二层由包括第二多个热传导颗粒的第二绝缘材料形成,其中所述第二层具有热传导颗粒的第二浓度,其中所述第一浓度超过所述第二浓度。

8. 根据权利要求 1 所述的热能引导系统,其还包括与所述各向异性热引导涂层热连通的热能捕集装置,其中所述热能管理目标包括将热从所述热能源引导到所述热能捕集装置。

9. 一种制造热能引导系统的方法,其包括:

提供热能源 ;以及

以不均匀的方式使所述热能源的表面涂覆有各向异性热引导涂层,使得所述各向异性热引导涂层与所述热能源的表面热连通,其中所述各向异性热引导涂层包括多个层,所述多个层包括第一层和第二层,其中所述第一层具有第一热传导率,所述第二层具有第二热传导率,其中所述多个层不均匀地布置在所述热能源的表面上,以便根据热能管理目标从所述热能源引导热能。

10. 根据权利要求 9 所述的方法,其中用所述各向异性热引导涂层涂覆所述热能源的表面的步骤包括:

提供热收缩管,所述热收缩管包括所述各向异性热引导涂层 ;

将所述热能源定位在所述热收缩管中 ;以及

向所述热收缩管施加热,使得所述各向异性热引导涂层与所述热能源的表面热连通。

11. 根据权利要求 9 所述的方法,其中用所述各向异性热引导涂层涂覆所述热能源的表面的步骤包括:

从第一分配喷嘴喷涂所述第一层;以及
从第二分配喷嘴喷涂所述第二层。

12. 根据权利要求 9 所述的方法,其中所述各向异性热引导涂层的在第一位置处的第一厚度包括所述第一层的第一厚度和所述第二层的第一厚度,其中所述各向异性热引导涂层的在第二位置处的第二厚度包括所述第一层的第二厚度和所述第二层的第二厚度,其中所述第一层的第一厚度小于所述第一层的第二厚度。

13. 一种热能引导系统,其包括:

热能源;以及

各向异性热引导涂层,所述各向异性热引导涂层与所述热能源的表面热连通,其中:

所述各向异性热引导涂层是与所述热能源的形状相贴合的保形涂层;

所述各向异性热引导涂层包括多个层,所述多个层包括第一层和第二层;

所述第一层具有第一热传导率,所述第二层具有第二热传导率;

所述第一层由包括多个热传导颗粒的硅树脂形成;并且

所述第二层由硅树脂形成,并且不包括热传导颗粒。

14. 根据权利要求 13 所述的热能引导系统,其中所述第一层与所述热能源的表面接触,所述第二层与所述热能源接触,并且所述第一层与所述第二层接触。

15. 根据权利要求 13 所述的热能引导系统,其中所述第一层设置在所述第二层和所述热能源的表面之间。

包括各向异性热引导涂层的热能引导系统及其制造方法

技术领域

[0001] 本发明整体涉及热能引导系统,更具体地,本发明涉及包括各向异性热引导涂层的热能引导系统以及制造包括各向异性热引导涂层的热能引导系统的方法。

背景技术

[0002] 许多装置以各种量和形式散发热能。例如,电子元件、内燃机、马达、机电系统和类似物可能散发热能,该热能耗散到环境中。期望的是管理这样散发的热能,例如通过控制耗散到环境中或/或将散发的热能引导到期望的位置以能够收获热能。

[0003] 因此,需要包括各向异性热引导涂层的热能引导系统以及制造包括各向异性热引导涂层的热能引导系统的方法。

发明内容

[0004] 在一个实施例中,热能引导系统包括以及与热能源的表面热连通的各向异性热引导涂层。各向异性热引导涂层包括多个层,所述多个层包括第一层和第二层。第一层具有第一热传导率,第二层具有第二热传导率。所述多个层不均匀地布置在热能源的表面上,以便根据热能管理目标从热能源引导热能。

[0005] 在另一个实施例中,制造热能引导系统的方法包括:提供热能源以及以不均匀的方式使热能源的表面涂覆有各向异性热引导涂层,使得各向异性热引导涂层与热能源的表面热连通。各向异性热引导涂层包括多个层,所述多个层包括第一层和第二层。第一层具有第一热传导率,第二层具有第二热传导率。所述多个层不均匀地布置在热能源的表面上,以便根据热能管理目标从热能源引导热能。

[0006] 在另一个实施例中,热能引导系统包括以及与热能源的表面热连通的各向异性热引导涂层。各向异性热引导涂层是与热能源的形状相贴合的保形涂层。各向异性热引导涂层包括多个层,所述多个层包括第一层和第二层。第一层具有第一热传导率,第二层具有第二热传导率。第一层由包括多个热传导颗粒的硅树脂形成。第二层由硅树脂形成,并且不包括热传导颗粒。

[0007] 参考附图,根据以下的详细说明,将会更加完全地理解本发明的实施例提供的这些和额外的特征。

附图说明

[0008] 附图中所示的实施例是图示和示例性的,并不用来限制本发明。在结合附图阅读的情况下可以理解所示实施例的以下详细说明,其中类似的结构用相同的附图标记表示,并且其中:

[0009] 图 1 示意性地示出了根据本文所示和所述的一个或多个实施例的热能引导系统,其包括热能源和各向异性热引导涂层;

[0010] 图 2A 示意性地示出了根据本文所示和所述的一个或多个实施例的热能引导系

统,其包括电子装置、热能捕集装置和均匀热引导涂层;

[0011] 图 2B 示意性地示出了根据本文所示和所述的一个或多个实施例的图 2A 的热能引导系统的温度轮廓图;

[0012] 图 3A 示意性地示出了根据本文所示和所述的一个或多个实施例的热能引导系统,其包括电子装置、热能捕集装置和不均匀各向异性热引导涂层;

[0013] 图 3B 示意性地示出了根据本文所示和所述的一个或多个实施例的图 3A 的热能引导系统的温度轮廓图;

[0014] 图 4 示意性地示出了根据本文所示和所述的一个或多个实施例的用于图 2A 的热能引导系统和用于图 3A 的热能引导系统的沿着电子装置的温度对距离的曲线图;

[0015] 图 5A 示意性地示出了根据本文所示和所述的一个或多个实施例的热能引导系统,其包括涂覆有各向异性热引导涂层的热能源,该各向异性热引导涂层具有沿径向延伸的层;

[0016] 图 5B 示意性地示出了根据本文所示和所述的一个或多个实施例的图 5A 的热能引导系统的温度轮廓图;

[0017] 图 6A 示意性地示出了根据本文所示和所述的一个或多个实施例的热能引导系统,其包括涂覆有各向异性热引导涂层的热能源,该各向异性热引导涂层具有沿周向延伸的层;

[0018] 图 6B 示意性地示出了根据本文所示和所述的一个或多个实施例的图 6A 的热能引导系统的温度轮廓图;

[0019] 图 7A 示意性地示出了根据本文所示和所述的一个或多个实施例的热能引导系统,其包括涂覆有各向异性热引导涂层的热能源,该各向异性热引导涂层具有沿径向延伸的层和沿周向延伸的层;

[0020] 图 7B 示意性地示出了根据本文所示和所述的一个或多个实施例的图 7A 的热能引导系统的温度轮廓图;

[0021] 图 8A 示意性地示出了根据本文所示和所述的一个或多个实施例的制造热引导系统的方法;

[0022] 图 8B 示意性地示出了根据本文所示和所述的一个或多个实施例的通过图 8A 所示的方法制造的热能引导系统;以及

[0023] 图 9 示意性地示出了根据本文所示和所述的一个或多个实施例的制造热能引导系统的方法。

具体实施方式

[0024] 本文所公开的实施例涉及包括各向异性热引导涂层的热能引导系统以及制造包括各向异性热引导涂层的热能引导系统的方法。整体参考附图,如本文所述,热能引导系统可以包括热能源以及与热能源的表面热连通的各向异性热引导涂层。本文所述的各向异性热引导涂层包括具有不同热传导率的多个层,当所述多个层不均匀地布置在热能源的表面上时,所述多个层根据热能管理目标来从热能源引导热能,以最大化从热能源到周围环境的均匀热流、最小化从热能源到周围环境的均匀热流、优化到一个或多个位置的不均匀热流、将热引导到热能捕集装置,等等。这样引导的热能可以被捕集或收获,以用于进一步使

用。本文中参考附图更详细地描述多种包括各向异性热引导涂层的热能引导系统以及制造包括各向异性热引导涂层的热能引导系统。

[0025] 现在参考图 1, 其示意性地示出了热能引导系统 100。热能引导系统 100 包括热能源 110 以及与热能源 110 的表面热连通的各向异性热引导涂层 120。热能源 110 可以是散发热能的任何装置。例如, 在一些实施例中, 热能源 110 可以是电子模块或电子元件, 例如集成电路。在一些实施例中, 热能源 110 可以是电池, 作为将化学能转换为电能的副产品, 电池散发热能。在一些实施例中, 热能源 110 可以是散发热能的马达或内燃机。在一些实施例中, 热能源 110 可以是热能散发机电系统。热能源 110 可以是任何形状的。在一些实施例中, 热能源 110 可以是矩形的或圆形的形状。在一些实施例中, 热能源 110 可以是奇特的形状。此外, 在一些实施例中, 热能源 110 可以包括散发热能的一个部件, 而在其它实施例中, 热能源 110 可以包括多个散发热能的部件。

[0026] 仍然参考图 1, 各向异性热引导涂层 120 与热能源 110 的表面热连通。在一些实施例中, 各向异性热引导涂层 120 是与热能源 110 的形状相贴合的保形涂层。在一些实施例中, 各向异性热引导涂层 120 与热能源 110 的形状不贴合, 例如在各向异性热引导涂层 120 是刚性的且与热能源 110 的形状不匹配的实施例中。

[0027] 各向异性热引导涂层 120 包括多个层。多个层包括第一层 122 和第二层 124。虽然图 1 所示的各向异性热引导涂层 120 包括两个层, 但是应当理解, 在一些实施例中, 各向异性热引导涂层 120 包括多于两个的层。在包括多于两个的层的一些实施例中, 额外层中的一个或多个可以由与第一层 122 相同的材料形成。相似地, 在包括多于两个的层的一些实施例中, 额外层中的一个或多个可以由与第二层 124 相同的材料形成。例如, 在一些实施例中, 各向异性热引导涂层 120 可以包括叠堆在热能源 110 的表面上的多个层, 所述多个层由第一层 122 的材料和第二层 124 的材料交替地形成。在一些实施例中, 各向异性热引导涂层 120 可以包括叠堆在热能源 110 的表面上的多个层, 所述多个层由三个或更多个层组成成分交替地形成。在图 1 所示的实施例中, 第一层 122 设置在第二层 124 和热能源 110 之间。然而, 在其它实施例中, 第二层 124 设置在第一层 122 和热能源 110 之间。

[0028] 仍然参考图 1, 第一层 122 具有第一热传导率 K_1 , 第二层 124 具有第二热传导率 K_2 。第一热传导率 K_1 与第二热传导率 K_2 不同。在一些实施例中, 第一热传导率 K_1 大于第二热传导率 K_2 。在其它实施例中, 第一热传导率 K_1 小于第二热传导率 K_2 。由于第一层 122 和第二层 124 的不同的物理组成成分, 第一层和第二层的热传导率可以是不同的。例如, 在一些实施例中, 第一层 122 可以包括多个热传导颗粒, 而第二层 124 可以不包括热传导颗粒, 使得第一层 122 的第一热传导率 K_1 大于第二层 124 的第二热传导率 K_2 。热传导颗粒可以包括金属颗粒(例如铜、铝、银、金等)、石墨颗粒、纤维复合材料颗粒、陶瓷颗粒或它们的组合。

[0029] 仍然参考图 1, 在第一层 122 和第二层 124 的组成成分的内容中, 在一些实施例中, 第一层 122 由包括多个热传导颗粒的第一绝缘材料形成, 第二层由不包括热传导颗粒的第二绝缘材料形成, 使得第一层 122 的第一热传导率 K_1 大于第二层 124 的第二热传导率 K_2 。在一些这样的实施例中, 第一绝缘材料与第二绝缘材料相同, 而在其它这样的实施例中, 第一绝缘材料与第二绝缘材料不同。第一绝缘材料和 / 或第二绝缘材料可以包括硅树脂。在一些实施例中, 第一绝缘材料和 / 或第二绝缘材料可以是不同于硅树脂的绝缘材料, 例如

尼龙或环氧树脂。在一个非限制性例子中,例如当第一层 122 由包括多个铜颗粒的硅树脂形成而第二层 124 由基本上不具有热传导颗粒的硅树脂形成时,第一绝缘材料是包括热传导颗粒的硅树脂,第二绝缘材料是不包括热传导颗粒的硅树脂。

[0030] 仍然参考图 1,在第一层 122 和第二层 124 的组成成分的内容中,在一些实施例中,第一层 122 由包括第一多个热传导颗粒的第一绝缘材料形成,第二层由包括第二多个热传导颗粒的第二绝缘材料形成,使得第一层 122 的第一热传导率 K_1 大于第二层 124 的第二热传导率 K_2 。第一多个热传导颗粒的热传导颗粒与第二多个热传导颗粒的热传导颗粒不同。在一些实施例中,第一绝缘材料与第二绝缘材料相同,而在其它实施例中,第一绝缘材料与第二绝缘材料不同。

[0031] 仍然参考图 1,在第一层 122 和第二层 124 的组成成分的内容中,在一些实施例中,第一层 122 由包括具有第一浓度的第一多个热传导颗粒的第一绝缘材料形成,第二层由包括具有第二浓度的第二多个热传导颗粒的第二绝缘材料形成。第一层 122 中第一多个热传导颗粒的第一浓度超过第二层 124 中第二多个热传导颗粒的第二浓度,使得第一层 122 的第一热传导率 K_1 大于第二层 124 的第二热传导率 K_2 。在一些这样的实施例中,第一绝缘材料与第二绝缘材料相同,而在其它这样的实施例中,第一绝缘材料与第二绝缘材料不同。如上所述,第一绝缘材料和 / 或第二绝缘材料可以包括硅树脂。在一些实施例中,第一绝缘材料和 / 或第二绝缘材料可以是不同于硅树脂的绝缘材料,例如尼龙或环氧树脂。在一些实施例中,第一多个热传导颗粒的热传导颗粒与第二多个热传导颗粒的热传导颗粒相同,而在其它实施例中,第一多个热传导颗粒的热传导颗粒与第二多个热传导颗粒的热传导颗粒不同。

[0032] 仍然参考图 1,多个层(其包括第一层 122 和第二层 124)不均匀地布置在热能源 110 的表面上,以便根据热能管理目标从热能源 110 引导热能。在一些实施例中,多个层不均匀地布置在热能源 110 的表面上,使得多个层的厚度沿着热能源 110 的表面是变化的。例如,如图 1 所述,在第一位置 130 处的各向异性热引导涂层 120 的第一厚度 131 包括第一层 122 的第一厚度 132 和第二层 124 的第一厚度 134。在第二位置 140 处的各向异性热引导涂层 120 的第二厚度 141 包括第一层 122 的第二厚度 142 和第二层 124 的第二厚度 144。如图 1 所示,第一层 122 的第一厚度 132 小于第一层 122 的第二厚度 142。虽然图 1 示出了沿着热能源 110 的表面具有不均匀厚度的多个层,但是在一些实施例中,多个层可以以不同的或额外的方式不均匀地布置,例如在多个层不均匀地布置在热能源 110 的表面上,使得各个层的取向和 / 或方向相对于彼此是不均匀的情况下,如以下将参考图 3A-3B 进一步详细描述。

[0033] 仍然参考图 1,各向异性热引导涂层 120 的多个层不均匀地布置在热能源 110 的表面上,以便根据热能管理目标从热能源 110 引导热能。在一些实施例中,热能管理目标可以是最大化从热能源 110 到周围环境的均匀热流(例如,如以下将参考图 5A-5B 进一步详细描述的)。在一些实施例中,热能管理目标可以是最小化从热能源 110 到周围环境的均匀热流(例如,如以下将参考图 6A-6B 进一步详细描述的)。在一些实施例中,热能管理目标可以是优化到一个或多个位置的不均匀热流(例如,如以下将参考图 7A-7B 进一步详细描述的)。在一些实施例中,热能管理目标可以是热引导到与各向异性热引导涂层 120 热连通的热能捕集装置,例如散热器。应当理解,各向异性热引导涂层 120 可以根据除了本文所述的特

定热能管理目标之外的许多热能管理目标而从热能源 110 引导热能。

[0034] 现在参考图 2A, 其示意性地示出了热能引导系统 200。热能引导系统 200 包括电子装置 210a、210b、热能捕集装置 220 和均匀热引导涂层 230。热能捕集装置 220 与电子装置 210a、210b 热连通。均匀热引导涂层 230 与电子装置 210a、210b 热连通, 并且与热能捕集装置 220 热连通。

[0035] 仍然参考图 2A, 电子装置 210a、210b 可以在操作中产生热能, 例如微处理器、集成电路或其它电子元件。在一些实施例中, 电子装置 210a、210b 可以在操作期间产生相同量的热能, 而在其它实施例中, 电子装置 210a、210b 可以在操作期间产生不同量的热能。虽然图 2A 示出了两个电子装置 210a、210b, 但是某些实施例可以包括仅仅一个电子装置或多于两个的电子装置。

[0036] 仍然参考图 2A, 热能捕集装置 220 可以是任何装置, 来自电子装置 210a、210b 的热能可以被引导到该热能捕集装置。在一些实施例中, 热能捕集装置 220 可以是散热器, 例如铝散热器。在一些实施例中, 热能捕集装置 220 可以是除了铝散热器之外的散热器。

[0037] 如上所述, 均匀热引导涂层 230 与电子装置 210a、210b 热连通, 并且与热能捕集装置 220 热连通。均匀热引导涂层 230 可以用来将电子装置 210a、210b 散发的热能的至少一部分引导到热能捕集装置 220。在一些实施例中, 均匀热引导涂层 230 是硅树脂均匀层, 在热能引导系统 200 的整个宽度上具有相同的厚度。在其它实施例中, 均匀热引导涂层 230 可以由与硅树脂不同的材料形成。

[0038] 现在参考图 2B, 其示意性地示出了图 2A 的热能引导系统 200 的温度轮廓图。热能引导系统 200 中每个部位处的温度由阴影线区域表示, 其中水平阴影线区域是图示的最低温度, 竖向阴影线区域是图示的最高温度。在热能引导系统 200 内的各个位置处, 热能引导系统 200 从水平阴影线区域经由斜向阴影线区域和网格阴影线区域变化到竖向阴影线区域, 以便以对于温度轮廓图而言已知的方式表示每个位置处的温度。此外, 图 2B 示出了热能引导系统 200 内各个位置处的标准化热通量矢量。热通量矢量中的每个都示出了矢量起始的位置处的热能的传递方向。

[0039] 在图 2B 所示的实施例中, 电子装置 210a 产生第一热量, 电子装置 210b 产生第二热量, 第二热量为第一热量的三分之二。电子装置 210a 的最大温度是 425.8K。如图 2B 中的热通量矢量所示, 热能从电子装置 210a、210b 以方向均匀的方式耗散。

[0040] 现在参考图 3A, 其示意性地示出了热能引导系统 300, 该热能引导系统包括电子装置 310a、310b、热能捕集装置 320 以及不均匀各向异性热引导涂层 330。热能捕集装置 320 与电子装置 310a、310b 热连通。不均匀各向异性热引导涂层 330 与电子装置 310a、310b 热连通, 并且与热能捕集装置 320 热连通。

[0041] 仍然参考图 3A, 电子装置 310a、310b 可以在操作中产生热能, 例如微处理器、集成电路或其它电子元件。在一些实施例中, 电子装置 310a、310b 可以在操作期间产生相同量的热能, 而在其它实施例中, 电子装置 310a、310b 可以在操作期间产生不同量的热能。虽然图 3A 示出了两个电子装置 310a、310b, 但是某些实施例可以包括仅仅一个电子装置或多于两个的电子装置。为了比较的目的, 图 3A 的电子装置 310a、310b 与图 2A 的电子装置 210a、210b 相同。然而, 在其它实施例中, 图 3A 的电子装置 310a、310b 可以与图 2A 的电子装置 210a、210b 不同。

[0042] 仍然参考图 3A, 热能捕集装置 320 可以是任何装置, 来自电子装置 310a、310b 的热能可以被引导到该热能捕集装置。在一些实施例中, 热能捕集装置 320 可以是散热器, 例如铝散热器。在一些实施例中, 热能捕集装置 320 可以是除了铝散热器之外的散热器。为了比较的目的, 图 3A 的热能捕集装置 320 与图 2A 的热能捕集装置 220 相同。然而, 在其它实施例中, 图 3A 的热能捕集装置 320 可以与图 2A 的热能捕集装置 220 不同。

[0043] 如上所述, 不均匀各向异性热引导涂层 330 与电子装置 310a、310b 热连通, 并且与热能捕集装置 320 热连通。不均匀各向异性热引导涂层 330 引导热离开电子装置 310a、310b。在一些实施例中, 不均匀各向异性热引导涂层 330 可以搁置在热能捕集装置 320 的表面上, 以实现热管理目标, 例如最小化电子装置 310a 的温度梯度。如在此所用的, 装置的“温度梯度”是装置内任何位置处的最小温度和装置内任何位置处的最大温度之间的差。

[0044] 仍然参考图 3A, 在一些实施例中, 不均匀各向异性热引导涂层 330 可以例如通过图 9 所示的方法层状喷涂在电子装置 310a、310b 和热能捕集装置 320 上, 该方法将在以下更详细地描述。在一些实施例中, 不均匀各向异性热引导涂层 330 可以通过三维打印机三维打印在电子装置 310a、310b 和热能捕集装置 320 上。在其它实施例中, 不均匀各向异性热引导涂层 330 可以形成为单独的部件, 并且之后固定和热联接到电子装置 310a、310b 和热能捕集装置 320。

[0045] 不均匀各向异性热引导涂层 330 包括多个层, 所述多个层不均匀地布置在电子装置 310a、310b 的表面上和热能捕集装置 320 的表面上, 使得多个层的厚度沿着电子装置 310a、310b 的表面和热能捕集装置 320 的表面是变化的, 如上参考图 1 的各向异性热引导涂层 120 的厚度所述。在一些实施例中, 不均匀各向异性热引导涂层 330 的多个层可以是不均匀布置的, 使得各个层的取向和 / 或方向相对于彼此是不均匀的。例如, 如图 3A 所示, 不均匀各向异性热引导涂层 330 的多个层在热能引导系统 300 的整个宽度上以变化的厚度以及变化的取向和方向布置。在一些实施例中, 图 3A 的不均匀各向异性热引导涂层 330 可以包括图 1 的各向异性热引导涂层 120 或本文所述的任何其它涂层。

[0046] 仍然参考图 3A, 不均匀各向异性热引导涂层 330 可以由包括多个热传导颗粒的硅树脂形成。在图 3A 所示的实施例中, 不均匀各向异性热引导涂层 330 由包括热传导率为 $400\text{W}/\text{m}\cdot\text{K}$ 的热传导颗粒的硅树脂形成。在一些实施例中, 不均匀各向异性热引导涂层 330 可以包括热传导率不同于 $400\text{W}/\text{m}\cdot\text{K}$ 的热传导颗粒。在一些实施例中, 不均匀各向异性热引导涂层 330 可以包括具有不同热传导率的多个层, 例如在不均匀各向异性热引导涂层包括纯硅树脂层和具有热传导颗粒的硅树脂层的实施例中。

[0047] 现在参考图 3B, 其示意性地示出了图 3A 的热能引导系统 300 的温度轮廓图。以与图 2B 类似的方式, 热能引导系统 300 中每个部位处的温度由阴影线区域表示, 其中水平阴影线区域是图示的最低温度, 竖向阴影线区域是图示的最高温度。在热能引导系统 300 内的各个位置处, 热能引导系统 300 从水平阴影线区域经由斜向阴影线区域和网格阴影线区域变化到竖向阴影线区域, 以便以对于温度轮廓图而言已知的方式表示每个位置处的温度。此外, 图 3B 示出了热能引导系统 300 内各个位置处的标准化热通量矢量。热通量矢量中的每个都示出了矢量起始的位置处的热能的传递方向。

[0048] 在图所示的实施例中 3B, 电子装置 310a 产生第一热量, 电子装置 310b 产生第二热量, 第二热量为第一热量的三分之二。图 3A-3B 的电子装置 310a、310b 产生的热量与图

2A-2B 的电子装置 210a、210b 产生的热量相同。仍然参考图 3B, 与图 2B 的电子装置 210a 的 425.8K 的最大温度相比, 电子装置 310a 的最大温度是 420.2K。如图 3B 的热通量矢量所示, 与图 2B 所示的热能耗散方式相比, 热能从电子装置 310a、310b 以方向不均匀的方式耗散。具体地, 与图 2B 相比, 电子装置 310a 产生的热能被引导到图 3B 的热能捕集装置 320 中的比例较大。因此, 应当理解, 图 3A-3B 的不均匀各向异性热引导涂层 330 可以从电子装置 310a、310b 以不均匀方式引导热能, 从而与均匀热引导涂层相比, 降低了电子装置 310a、310b 中至少一个的最大温度。

[0049] 现在参考图 4, 其示意性地示出了用于图 2A 的热能引导系统 200 和用于图 3A 的热能引导系统 300 的沿着电子装置的温度对距离的曲线图。如图 4 所示, 图 3A 的电子装置 310a 的温度梯度是图 2A 的电子装置 210a 的温度梯度的大约一半。此外, 图 3A 的电子装置 310a 的最大、最小和平均温度小于图 2A 的电子装置 210a 的对应的最大、最小和平均温度。因此, 应当理解, 图 3A-3B 的不均匀各向异性热引导涂层 330 可以从电子装置 310a、310b 以不均匀方式引导热能, 从而与均匀热引导涂层相比, 降低了电子装置 310a、310b 中至少一个的温度梯度, 并且降低了电子装置 310a、310b 中至少一个的最大、最小和平均温度。

[0050] 现在参考图 5A, 其示意性地示出了热能引导系统 500, 该热能引导系统包括涂覆有各向异性热引导涂层 520 的热能源 510, 该各向异性热引导涂层具有多个径向延伸的层。在图 5A 所示的实施例中, 热能源 510 是围绕腔体 515 的铜环。然而, 在其它实施例中, 热能源 510 可以是散发热能的任何装置。例如, 在一些实施例中, 热能源 510 可以是电子模块或电子元件, 例如集成电路。在一些实施例中, 热能源 510 可以是电池, 作为将化学能转换为电能的副产品, 电池散发热能。在一些实施例中, 热能源 510 可以是的散发热能的马达或内燃机。在一些实施例中, 热能源 510 可以是电子器件或马达外壳。

[0051] 仍然参考图 5A, 各向异性热引导涂层 520 与热能源 510 的表面热连通。如上所述, 各向异性热引导涂层 520 包括多个径向延伸的层。如图 5A 所示, 各向异性热引导涂层 520 的多个层包括第一层 521 和第二层 522。第一层 521 与热能源 510 的表面接触。第二层 522 与热能源 510 接触。第一层 521 还沿着与热能源 510 的表面接触的层交界部接触第二层 522。在层交界部与热能源 510 的表面接触的位置处, 层交界部可以基本上不与热能源 510 的表面平行。在一些实施例中, 例如图 5A, 在层交界部与热能源的表面接触的位置处, 层交界部可以与热能源 510 的表面基本上垂直。在一些实施例中, 各向异性热引导涂层 520 是与热能源 510 的形状相贴合的保形涂层。

[0052] 仍然参考图 5A, 在一些实施例中, 第一层 521 具有第一热传导率, 第二层 522 具有与第一热传导率不同的第二热传导率。在一些实施例中, 第一层 521 可以是如上参考图 1 所述的第一层 122, 第二层 522 可以是如上参考图 1 所述的第二层 124。在一些实施例中, 第一层 521 由包括多个热传导颗粒的硅树脂形成, 第二层 522 由硅树脂形成且不包括热传导颗粒。

[0053] 各向异性热引导涂层 520 涂覆在热能源 510 的表面上, 以实现热管理目标。在图 5A 所示的实施例中, 各向异性热引导涂层 520 的热管理目标是最大化到周围环境的均匀热流。

[0054] 现在参考图 5B, 其示意性地示出了图 5A 的热能引导系统的温度轮廓图。热能源 510 的最大温度是 332K, 热能源 510 的最小温度是 305K。如图 5B 所示, 热能以均匀的方式

从热能源 510 的内部沿径向向外流动。因此,包括多个径向延伸的层的各向异性热引导涂层 520 最大化到周围环境的均匀热流。应当理解,热能可以在热能源 510 内被各向异性热引导涂层 520 引导。

[0055] 现在参考图 6A,其示意性地示出了热能引导系统 600,该热能引导系统包括涂覆有各向异性热引导涂层 620 的热能源 510,该各向异性热引导涂层具有多个周向延伸的层。各向异性热引导涂层 620 与热能源 510 的表面热连通。如上所述,各向异性热引导涂层 620 包括多个周向延伸的层。如图 6A 所示,各向异性热引导涂层 620 的多个层包括第一层 621 和第二层 622。第一层 621 与热能源 510 的表面接触。第一层 621 设置在第二层 622 和热能源 510 的表面之间。在一些实施例中,各向异性热引导涂层 620 是与热能源 510 的形状相贴合的保形涂层。

[0056] 仍然参考图 6A,在一些实施例中,第一层 621 具有第一热传导率,第二层 622 具有与第一热传导率不同的第二热传导率。在一些实施例中,第一层 621 可以是如上参考图 1 所述的第一层 122,第二层 622 可以是如上参考图 1 所述的第二层 124。在一些实施例中,第一层 621 由包括多个热传导颗粒的硅树脂形成,第二层 622 由硅树脂形成且不包括热传导颗粒。

[0057] 各向异性热引导涂层 620 涂覆在热能源 510 的表面上,以实现热管理目标。在图所示的实施例中 6A,各向异性热引导涂层 620 的热管理目标是 minimized 到周围环境的均匀热流。

[0058] 现在参考图 6B,其示意性地示出了图 6A 的热能引导系统的温度轮廓图。热能源 510 的最大温度是 415K,热能源 510 的最小温度是 308K。如图 6B 所示,热能以均匀的方式从热能源 510 的内部沿径向向外流动。然而,图 6B 的热能源 510 的最大温度比图 5B 的热能源 510 的最大温度高 83K,这表明图 6A-6B 的包括多个周向延伸的层的各向异性热引导涂层 620 最小化了到周围环境的均匀热流。应当理解,热能可以在热能源 510 内被各向异性热引导涂层 620 引导。

[0059] 现在参考图 7A,其示意性地示出了热能引导系统 700,该热能引导系统包括涂覆有各向异性热引导涂层 720 的热能源 510,该各向异性热引导涂层具有多个径向延伸的层 724 和多个周向延伸的层 722 两者。各向异性热引导涂层 720 与热能源 510 的表面热连通。如上所述,各向异性热引导涂层 720 包括多个径向延伸的层 724 和多个周向延伸的层 722。多个径向延伸的层 724 可以如上参考图 5A-5B 的各向异性热引导涂层 520 的径向延伸的层进行构造。同样,多个周向延伸的层 722 可以如上参考图 6A-6B 的各向异性热引导涂层 620 的周向延伸的层进行构造。

[0060] 各向异性热引导涂层 720 涂覆在热能源 510 的表面上,以实现热管理目标。在图 7A 所示的实施例中,各向异性热引导涂层 720 的热管理目标是通过适当地布置各向异性热引导涂层 720 的各层而优化到指定位置的不均匀热流。具体地,各向异性热引导涂层 720 的热管理目标是利用多个周向延伸的层 722 最小化从热能源 510 的顶部半部到周围环境的均匀热流,并且利用多个径向延伸的层 724 最大化从热能源 510 的底部半部到周围环境的均匀热流。

[0061] 现在参考图 7B,其示意性地示出了图 7A 的热能引导系统的温度轮廓图。热能源 510 的最大温度是 341K,热能源 510 的最小温度是 297K。图 7B 的热能源 510 的最大温度比

图 5B 的热能源 510 的最大温度高 9K。如图 7B 所示,利用多个周向延伸的层 722 减少从热能源 510 的顶部半部到周围环境的均匀热流,并且利用多个径向延伸的层 724 增加从热能源 510 的底部半部到周围环境的均匀热流。应当理解,热能可以在热能源 510 内被各向异性热引导涂层 720 引导。

[0062] 现在参考图 8A-9,其示意性地示出了制造热能引导系统的方法。该方法包括:提供热能源以及以不均匀的方式使热能源的表面涂覆有各向异性热引导涂层,使得各向异性热引导涂层与热能源的表面热连通。各向异性热引导涂层包括多个层,所述多个层包括第一层和第二层。第一层具有第一热传导率,第二层具有第二热传导率。所述多个层不均匀地布置在热能源的表面上,以便根据热能管理目标从热能源引导热能。现在将描述图 8A-9 中示出的特定方法中的每个方法。

[0063] 现在具体参考图 8A,其示意性地示出了制造热能引导系统的方法。首先,提供热能源 810。在一些实施例中,热能源 810 可以是机电装置、电子模块、电池、马达、内燃机或本文所述的任何热能源。接下来,以不均匀的方式使热能源 810 的表面涂覆有各向异性热引导涂层,使得各向异性热引导涂层与热能源的表面热连通。在图 8A 所示的实施例中,热能源 810 的表面通过以下方式进行涂覆:提供包括各向异性热引导涂层的热收缩管 820 (例如 Mylar 管或类似物);将热能源 810 定位在热收缩管 820 中;以及向热收缩管 820 施加热。当向热收缩管 820 施加热时,热收缩管 820 贴合热能源 810 的形状,使得各向异性热引导涂层与热能源 810 的表面热连通,如图 8B 中制造的热引导系统所示。热收缩管 820 的各向异性热引导涂层可以具有本文所述的任何热引导涂层的组成成分。

[0064] 现在具体参考图 9,其示意性地示出了制造热能引导系统 900 的方法。首先,提供热能源 910a、910b。在一些实施例中,热能源 910a、910b 可以是电子模块,例如微处理器、集成电路或其它电子元件。接下来,以不均匀的方式使热能源 910a、910b 的表面涂覆有各向异性热引导涂层 960,使得各向异性热引导涂层 960 与热能源 910a、910b 的表面热连通。在图 9 所示的实施例中,热能捕集装置 920 (例如散热器、铝散热器或类似物)的表面也涂覆有各向异性热引导涂层 960。在图 9 所示的实施例中,通过从第一分配喷嘴 952 喷涂第一层 962 并且从第二分配喷嘴 954 喷涂第二层 964,来涂覆热能源 910a、910b 的表面和热能捕集装置 920 的表面。通过第一分配喷嘴 952 分配的多个材料层和 / 或通过第二分配喷嘴 954 分配的多个材料层可以用来涂覆热能源 910a、910b 和 / 或热能捕集装置 920。在一些实施例中,当从分配喷嘴分配材料时,热能源 910a、910b 和热能捕集装置 920 可以来回地移动(例如通过传送带),以便根据需要制造各向异性热引导涂层 960。在一些实施例中,当分配材料时,分配喷嘴可以移动,以便根据需要制造各向异性热引导涂层 960。虽然图 9 所示的实施例包括两个分配喷嘴,但是其它实施例可以包括多于两个的分配喷嘴,每个分配喷嘴可以分配与第一分配喷嘴 952 和第二分配喷嘴 954 相同的或不同的材料。各向异性热引导涂层 960 可以具有本文所述的任何热引导涂层的组成成分。

[0065] 虽然已经参考图 8A-9 提供了制造本文所述的涂层的特定方法,但是应当理解,本文所述的涂层可以用各种其它的方法制造,例如三维打印或类似方法。

[0066] 现在应当理解,本文所述的各向异性热引导涂层可以允许热能源散发的热能根据各种热能管理目标而在热能系统中被引导。此外,应当理解,这样引导的热能可以被捕集或收获,以用于进一步使用。最后,将本文所述的各向异性热引导涂层施加到热能源能够对热

能进行引导,同时避免当试图通过由大块复合材料(其在热能源自身的组成成分中包括特别设计的微结构)形成热能源而引导热能源内的热能时可能出现的复杂性。

[0067] 要注意的是,术语“基本上”和“大约”在本文中可以用来表示不确定性的固有程度,这些不确定性可以归因于任何定量比较、数值、测量或其它表示。这些术语在本文中还被用来表示这样的程度,即定量表示可以从所述基准改变,而不会导致讨论的主题的基本功能的改变。

[0068] 虽然在本文中已经图示和描述了具体实施例,但是应当理解,在不脱离要求保护的的主题的精神和范围的情况下,可以做出各种其它的变化和修改。此外,尽管本文中已经描述了要求保护的主题的各方面,但是这些方面不必组合使用。因此,期望的是所附的权利要求覆盖所有的处于要求保护的的主题的范围内的这些变化和修改。

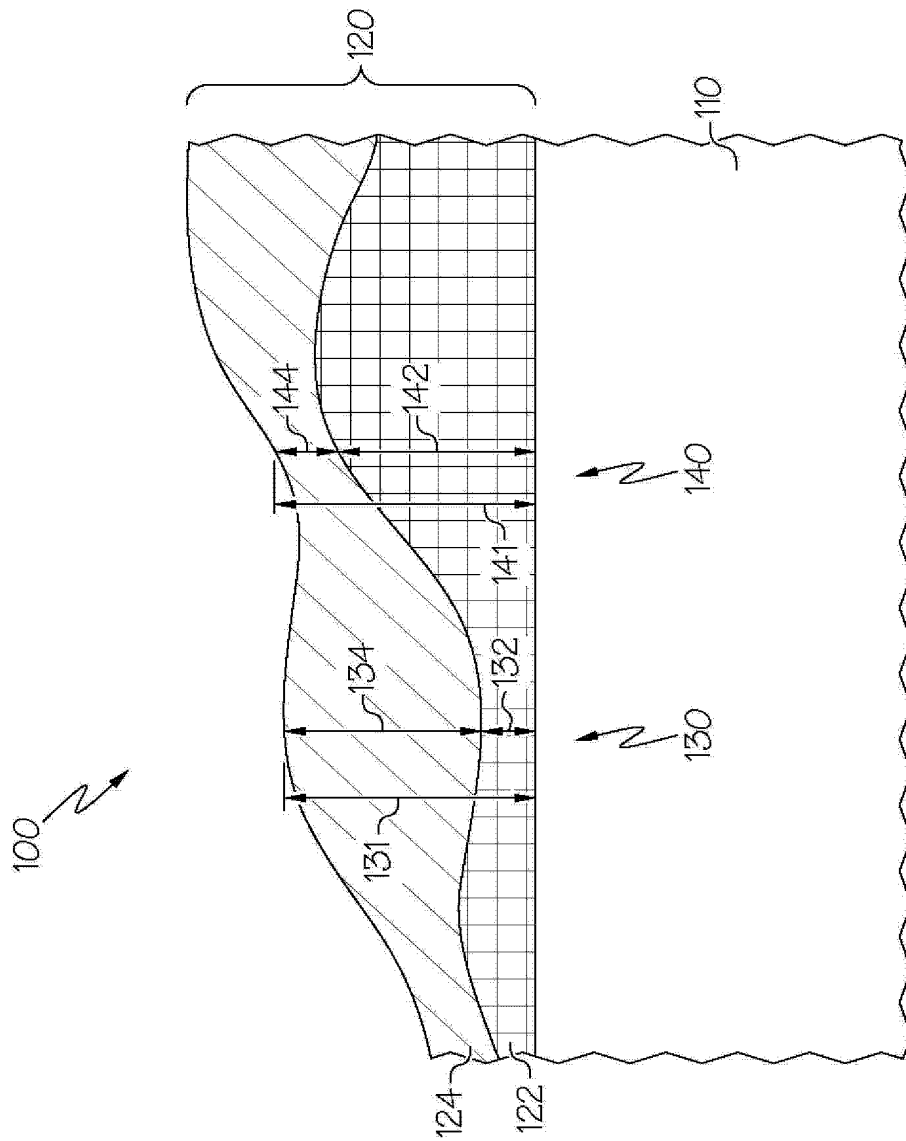


图 1

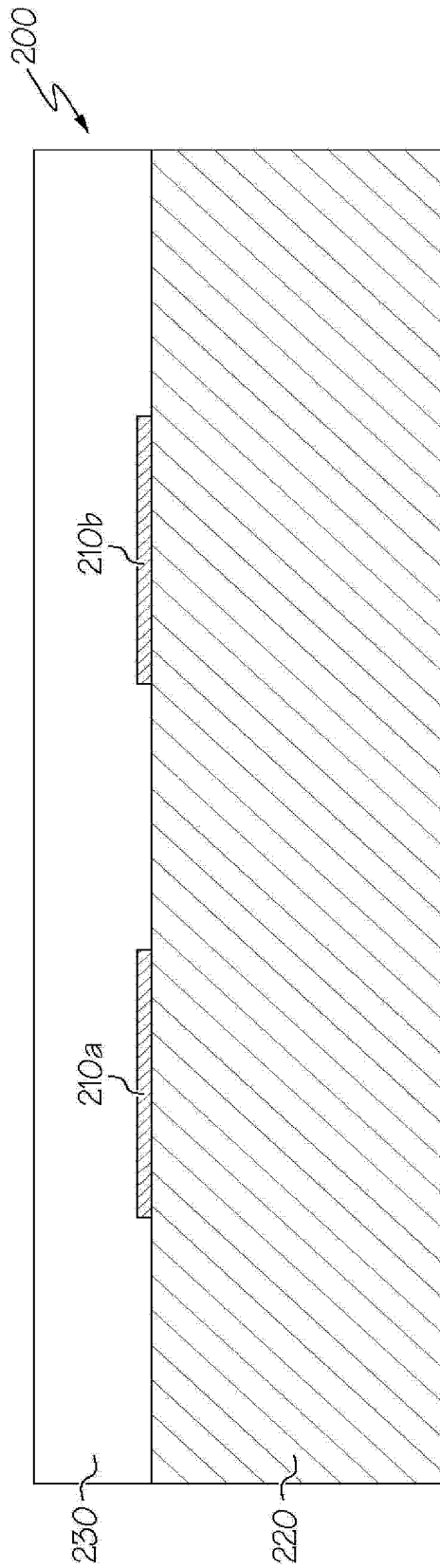


图 2A

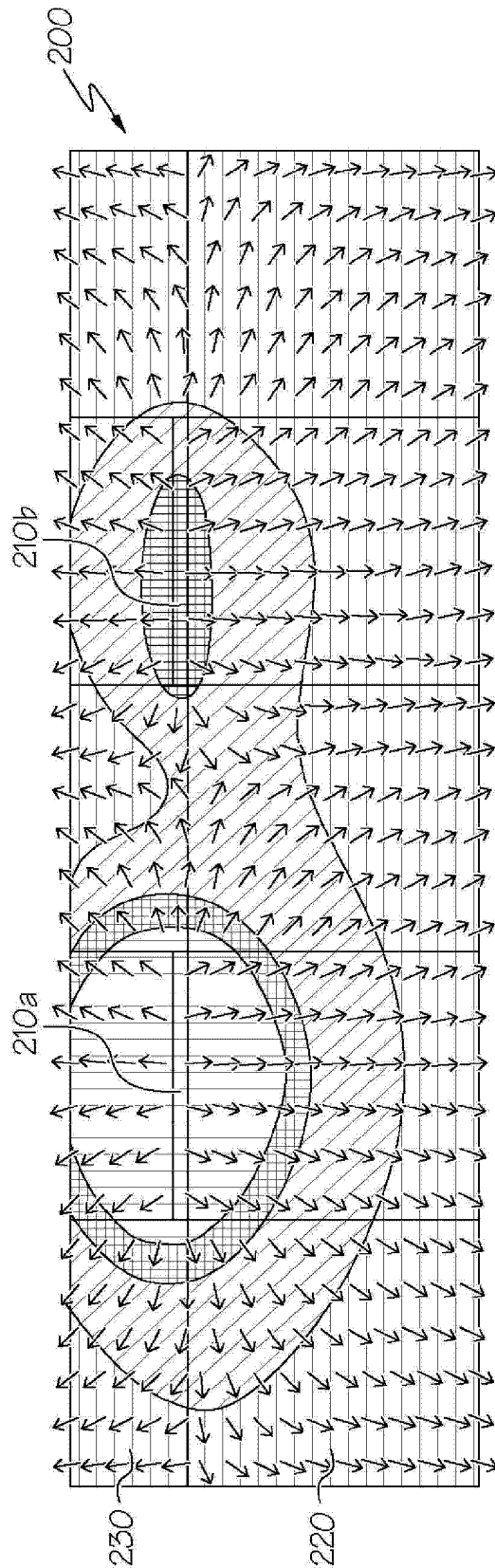


图 2B

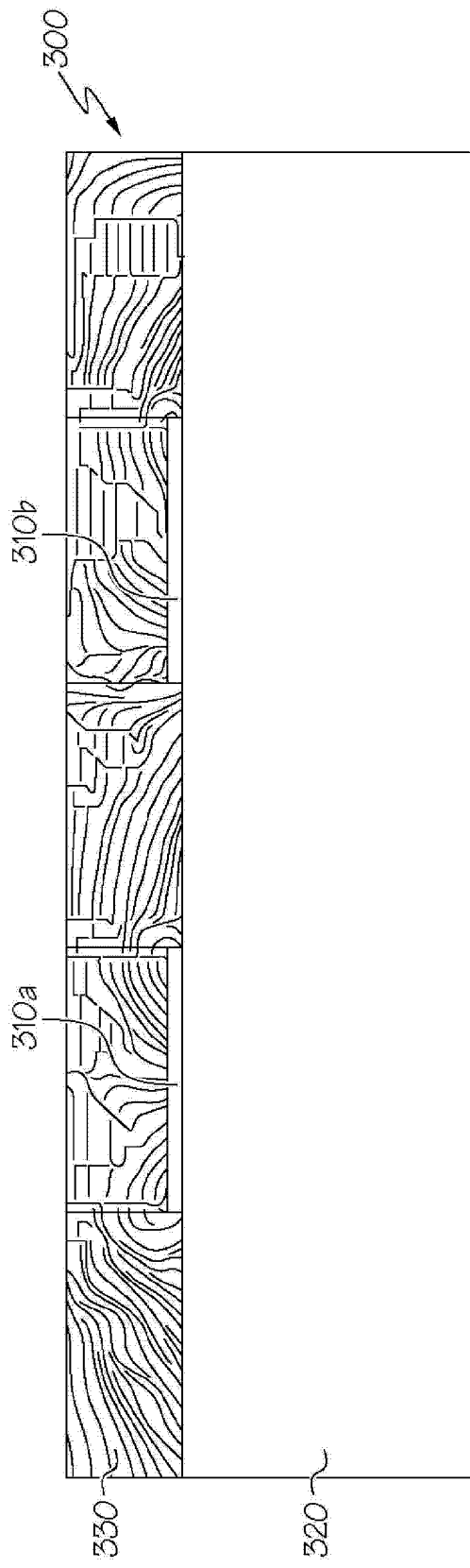


图 3A

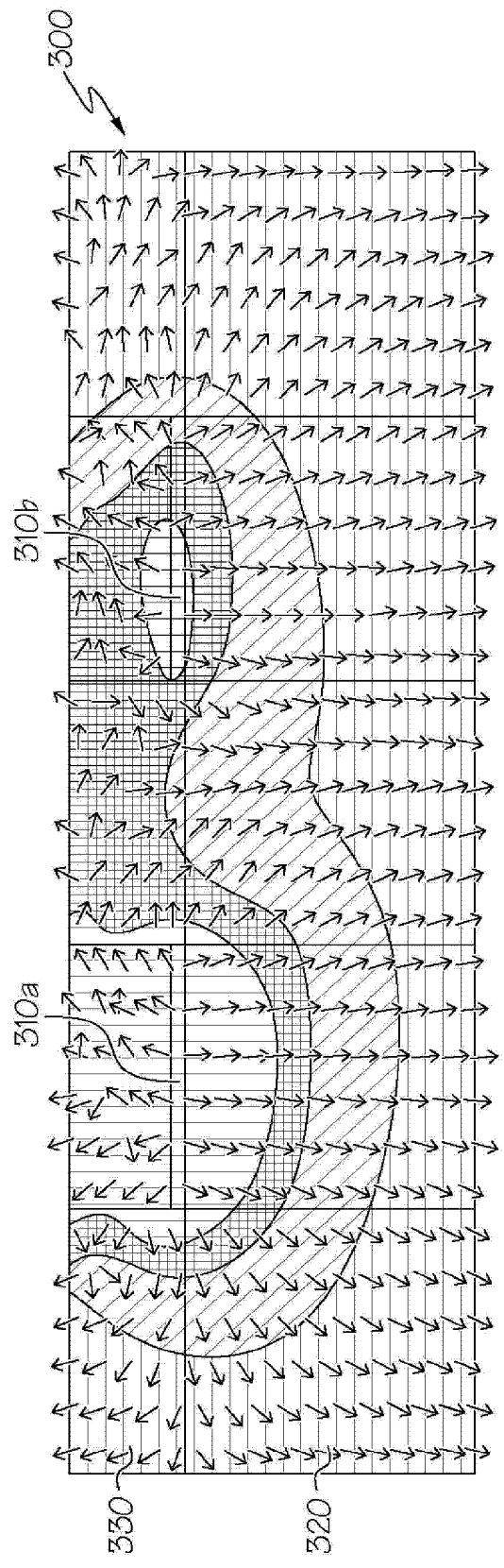


图 3B

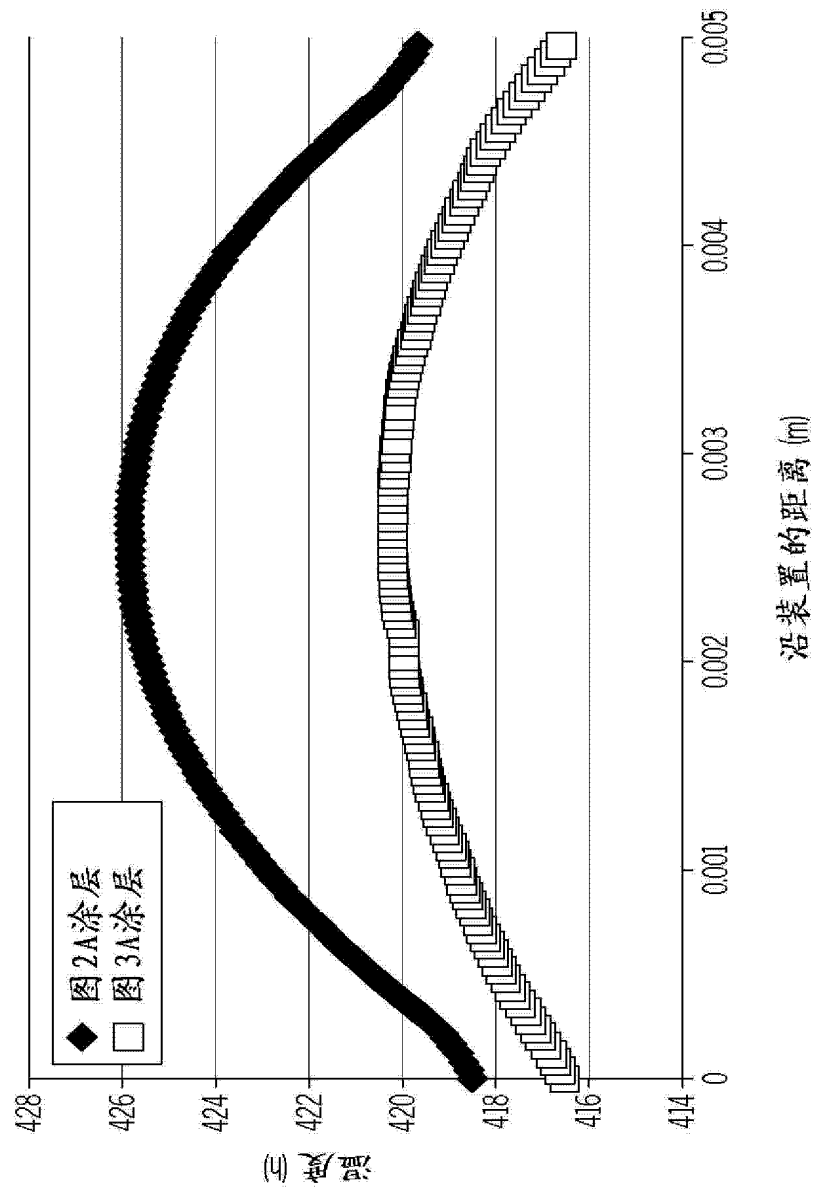


图 4

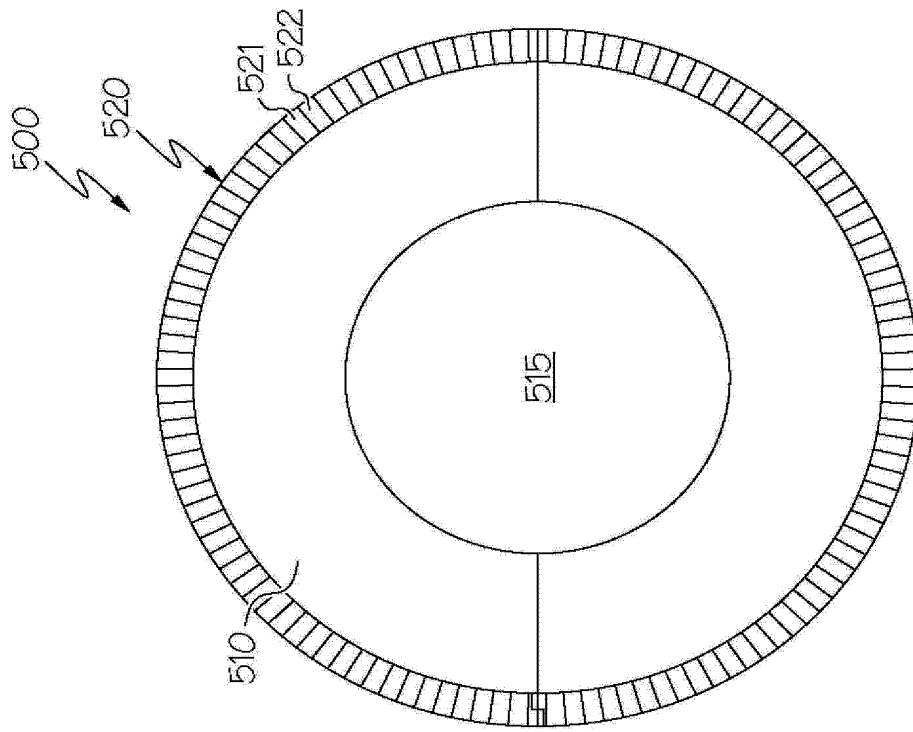


图 5A

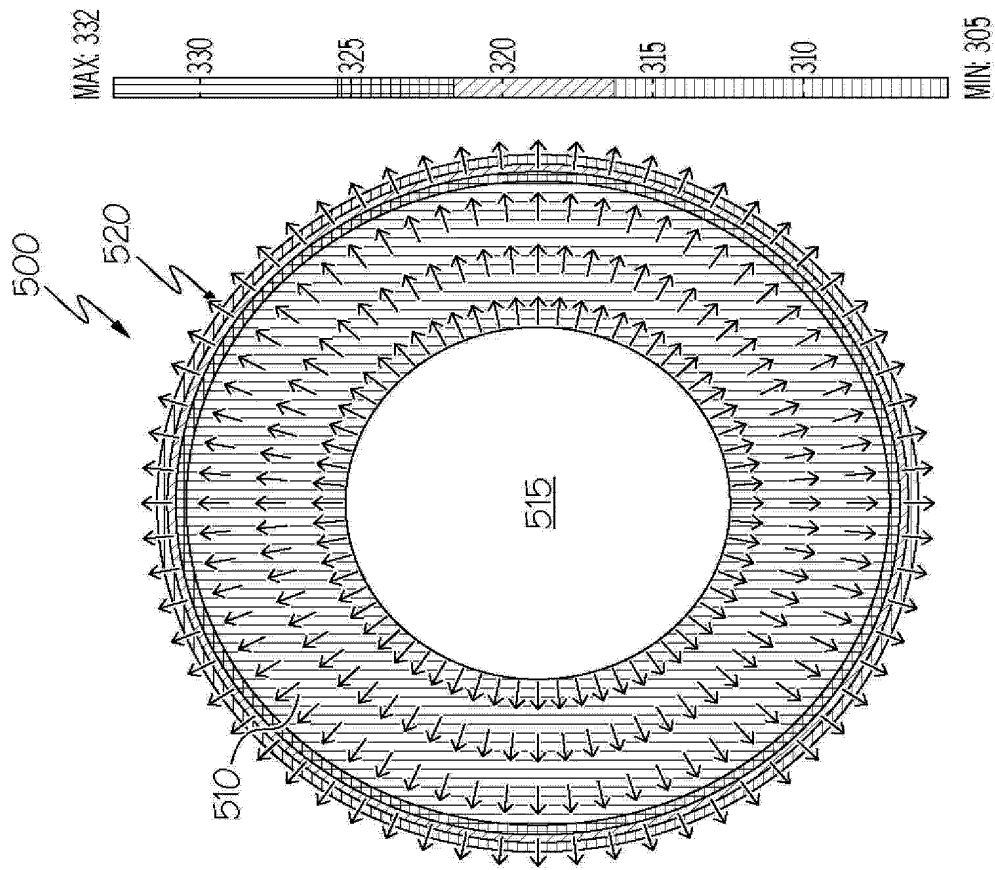


图 5B

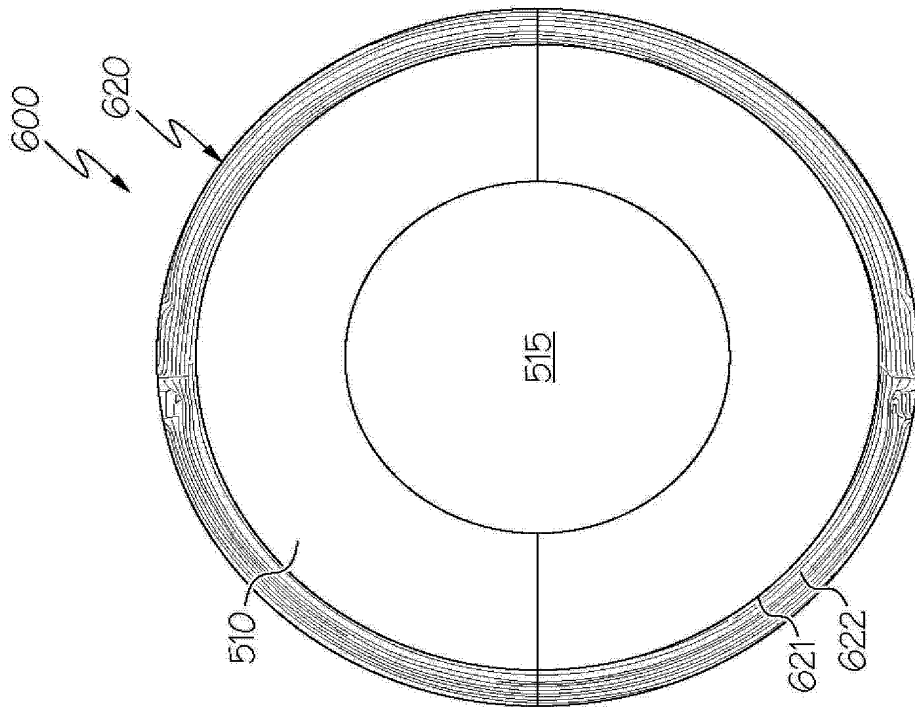


图 6A

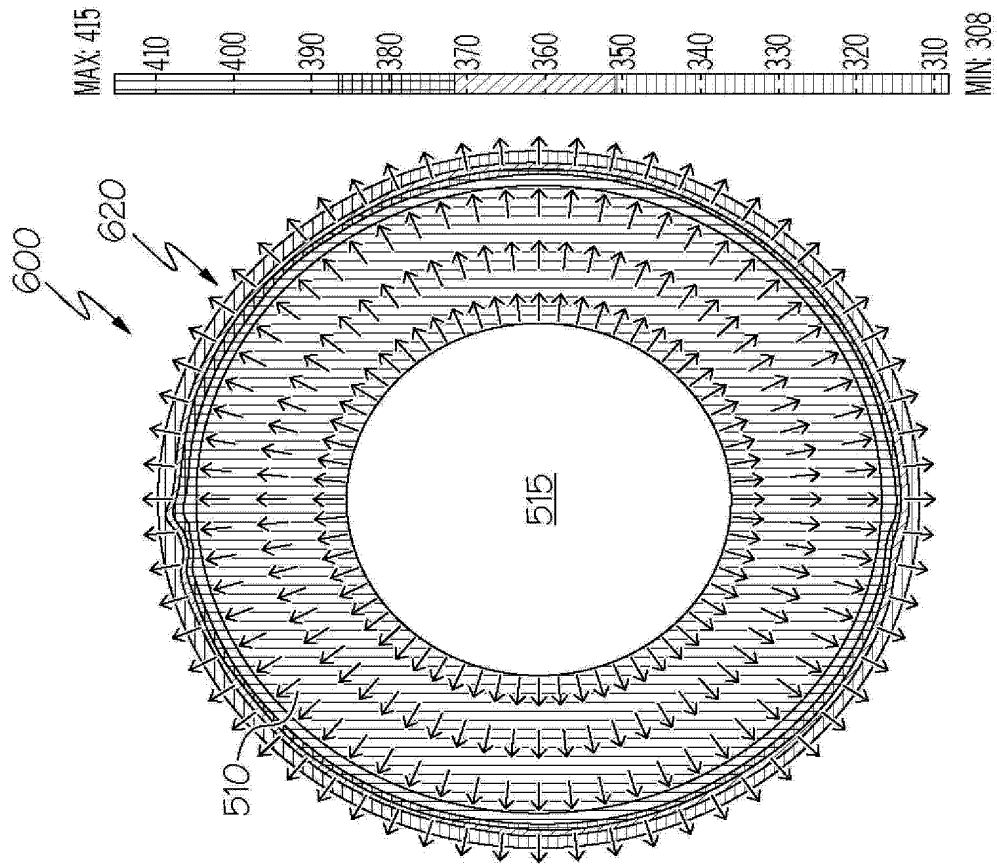


图 6B

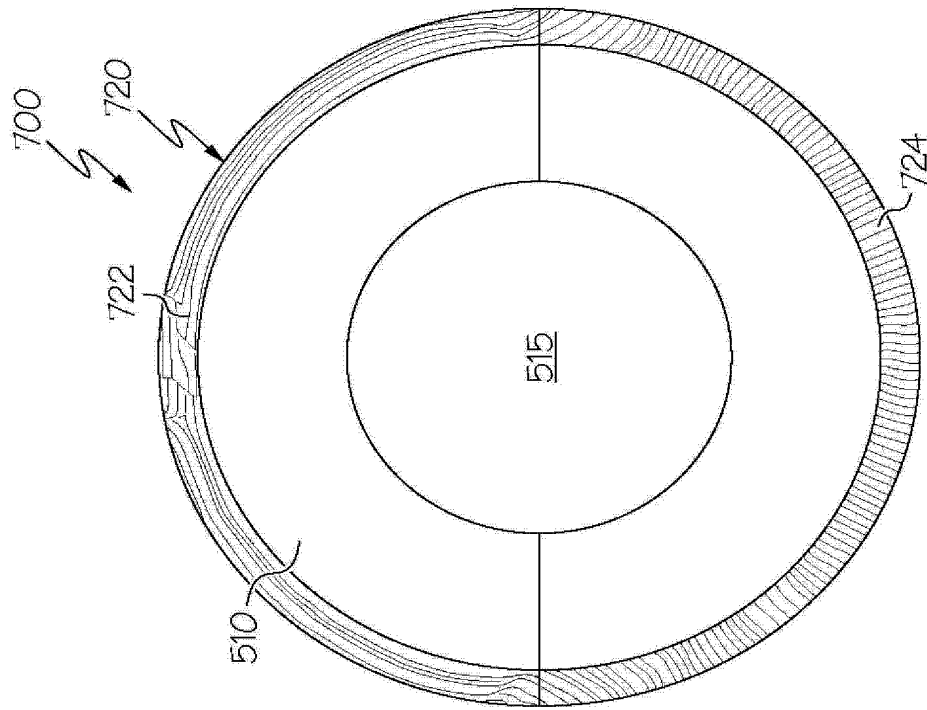


图 7A

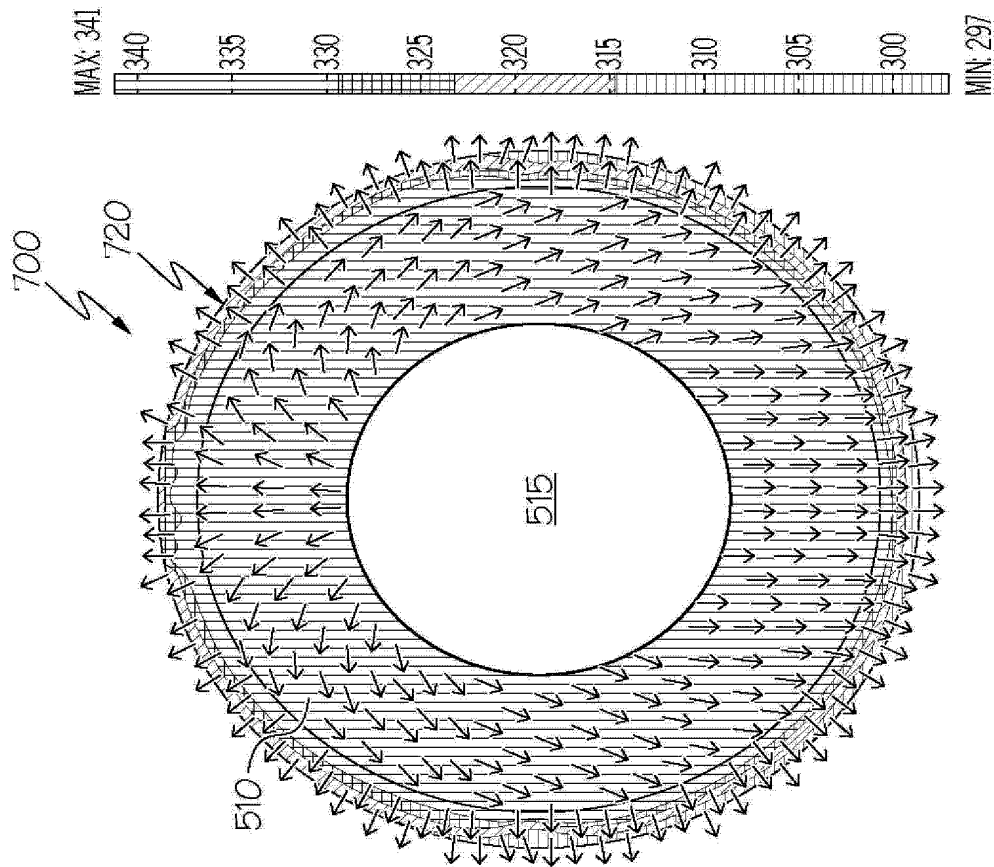


图 7B

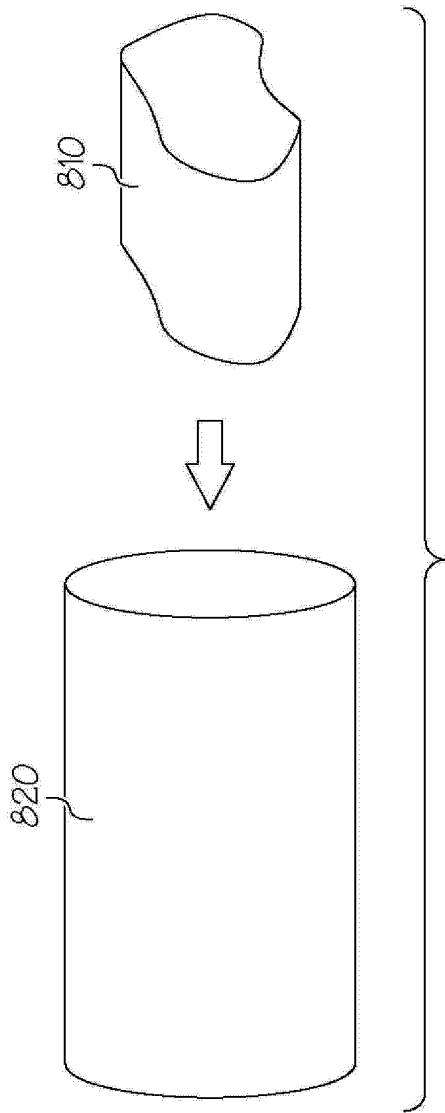


图 8A

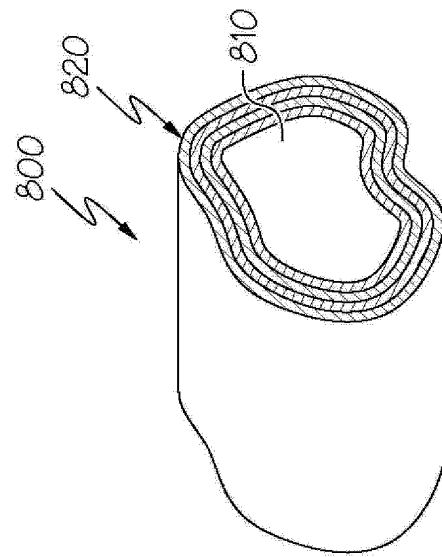


图 8B

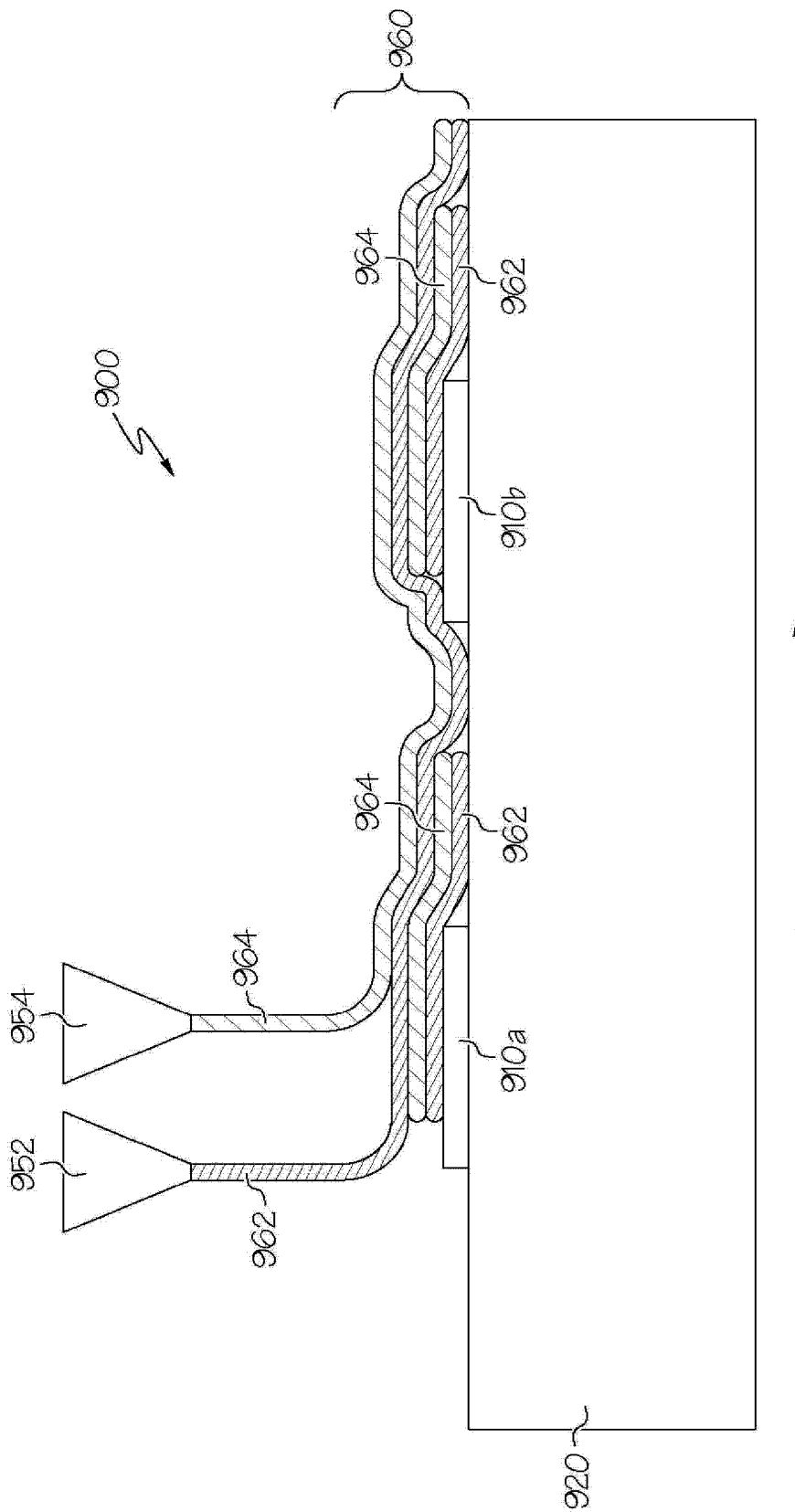


图 9